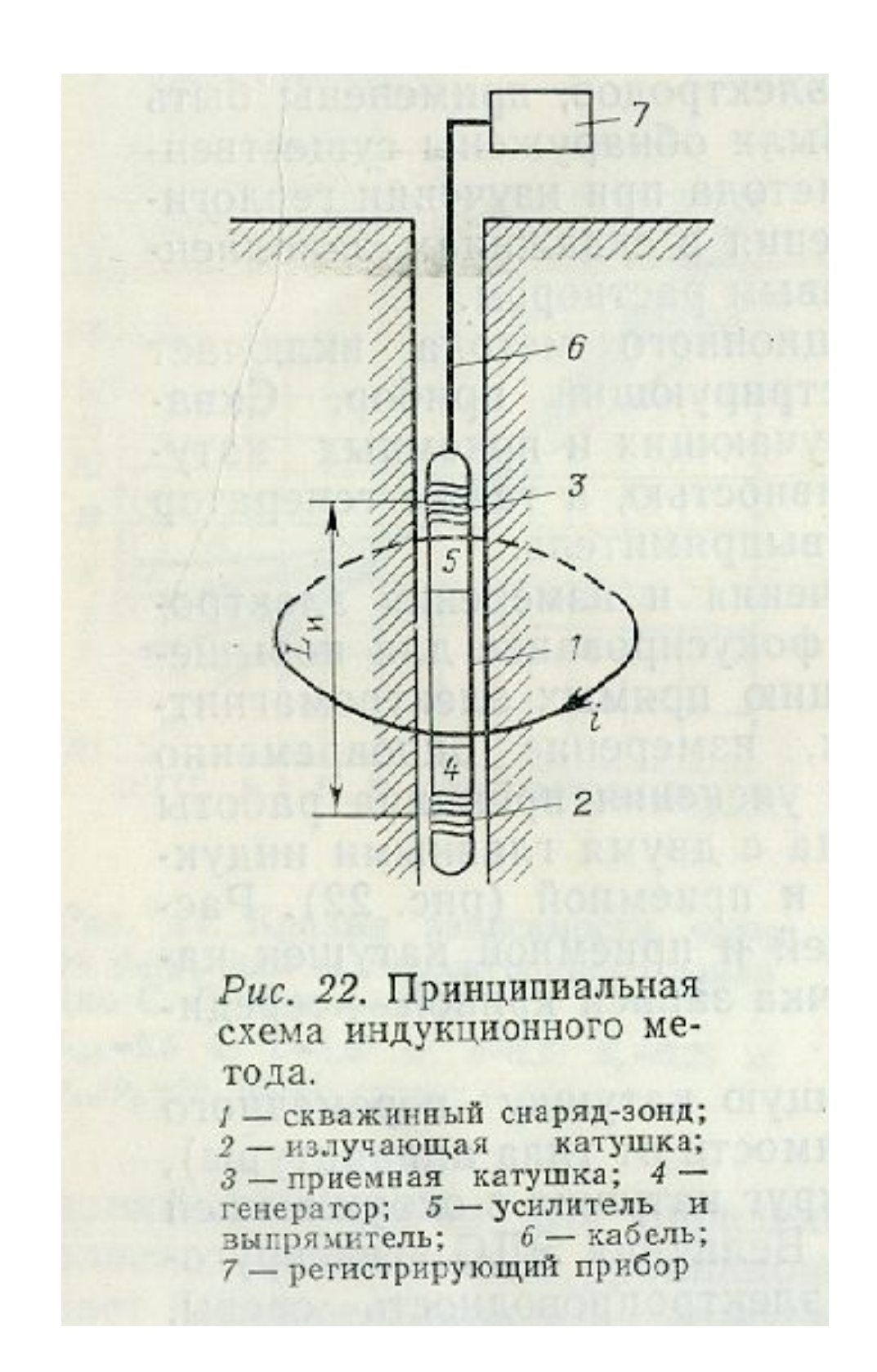
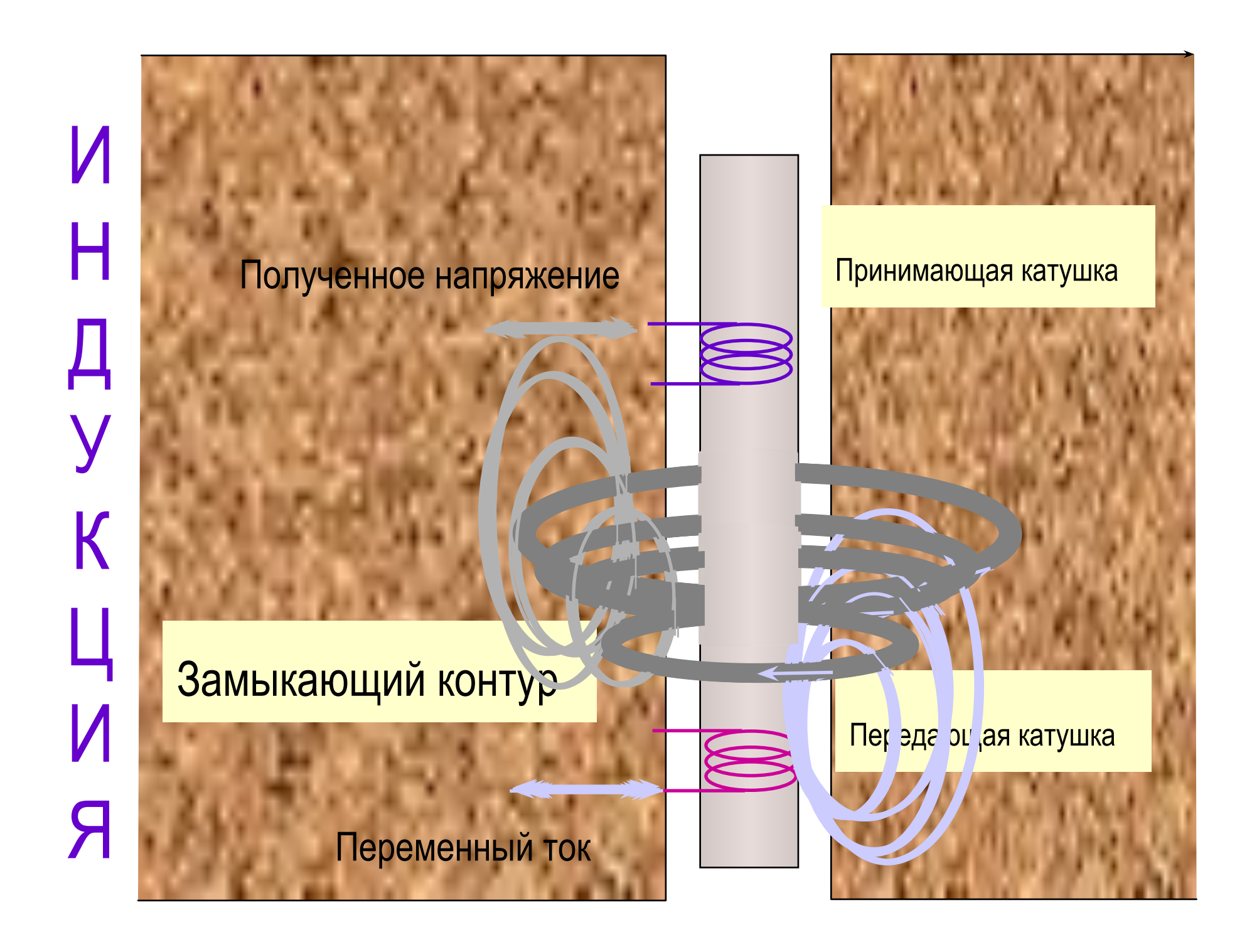
# В.И. Исаев Дисциплина «Интерпретация данных ГИС»

# ИНДУКЦИОННЫЙ МЕТОД - ИК

## ИК. ППИНЦИПИАЛЬНАЯ СХЕМА ИЗМЕРЕНИЙ

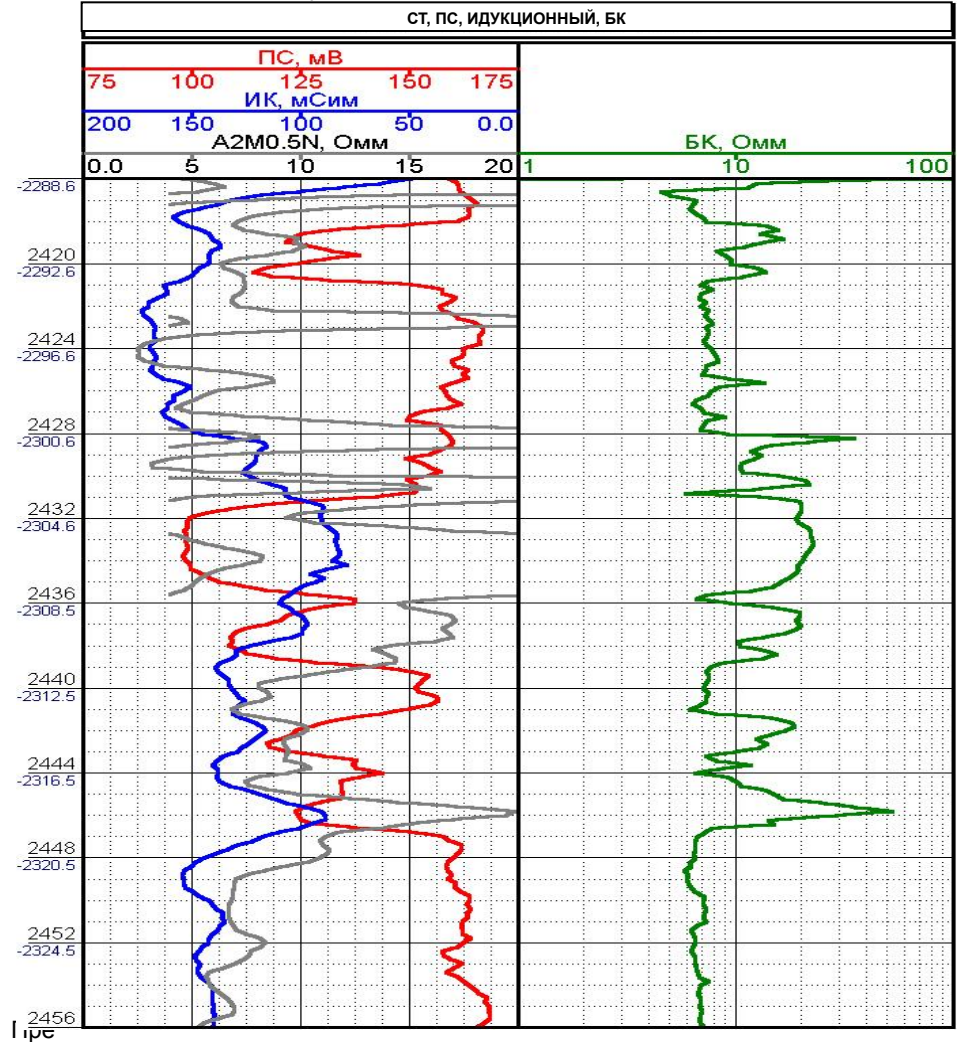


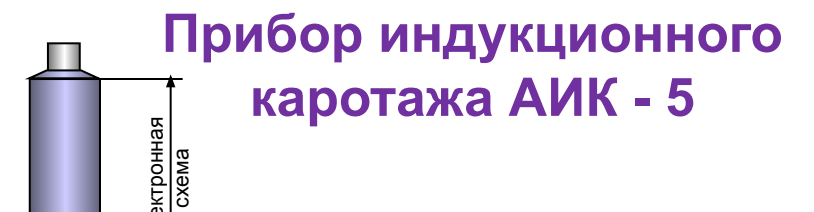


### Индукционный каротаж

Индукционный каротаж основан на измерении в стволе скважины напряженности переменного магнитного поля, создаваемого вихревыми токами, генерируемыми в горной породе. Результатом регистрации индукционного каротажа является величина удельной электропро-водности горных пород. Информативный метод для экспресс-анализа наличия углеводородов в пластах-коллекторах, особенно в терригенном (песчано-глинистом) разрезе. решаемые задачи:

- определение сопротивления в незатронутой проникновением фильтрата бурового раствора части пласта
- определение радиального градиента сопротивления горных пород
- экспресс-анализ наличия углеводородов в пластах





#### Основные технические характеристики

3онд 7И1,6

 Диаметр прибора
 90 мм

 Диаметр скважины
 120-360 мм

 Давление
 150 МП

 Температура
 150 °C

Длина 3500 мм Масса 43 кг

Диапазон измерений

Измерительный зонд

6-1000 мСм/м ( 170 - 1 Ом м)

### ЭЛЕКТРИЧЕСКИЕ ТОКИ БК И ИК

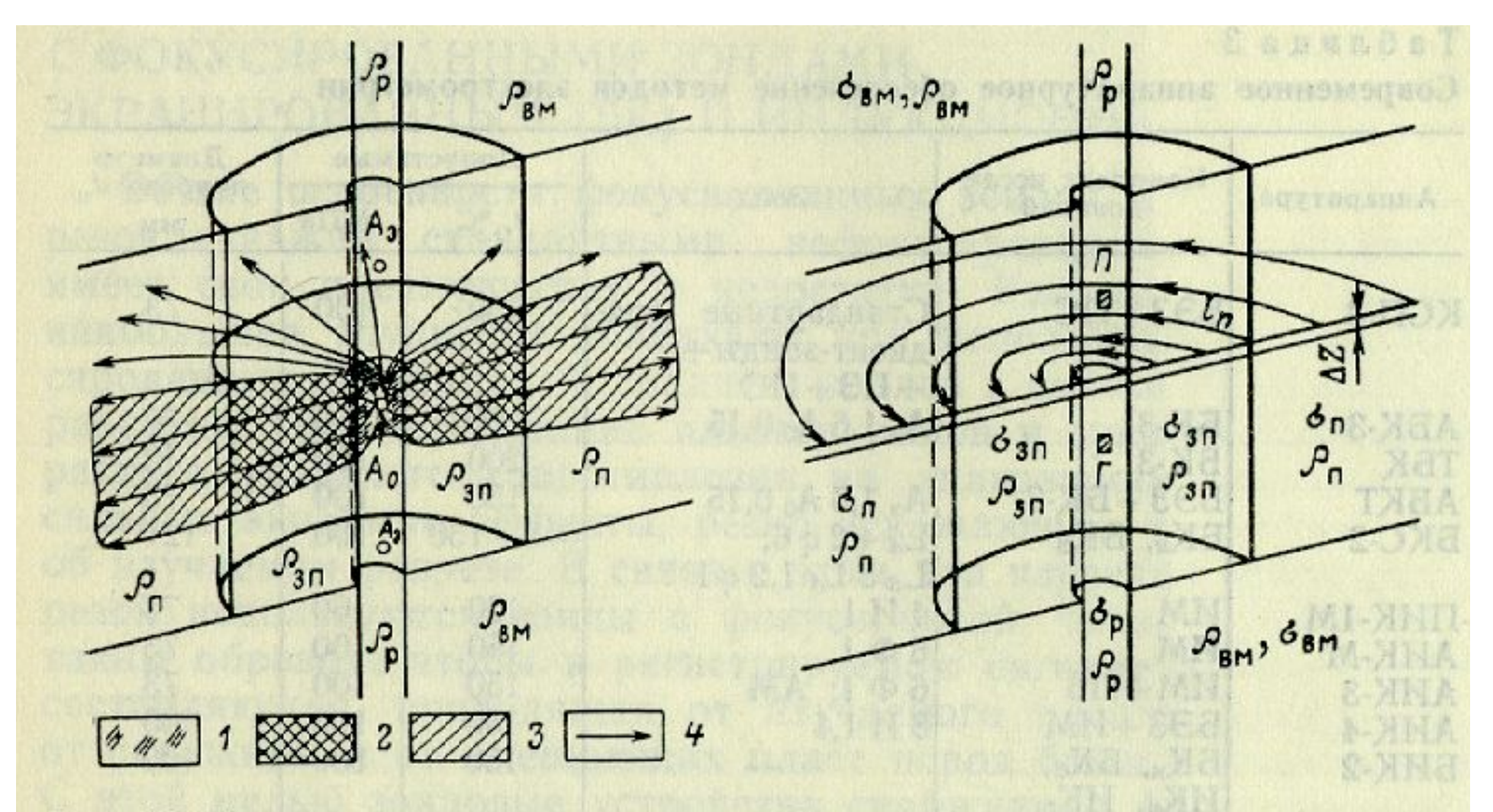


Рис. 16. Поле центрального электрода  $A_0$  семиэлектродного экранированного зонда в пласте с зоной проникновения.

/ — скважина; 2 — зона проникновения;
 3 — неизмененная часть пласта; 4 — гоковые линии

Рис. 17. Электрическое поле при изучении пласта, имеющего зону проникновения, индукционным методом

### диаграммы ик

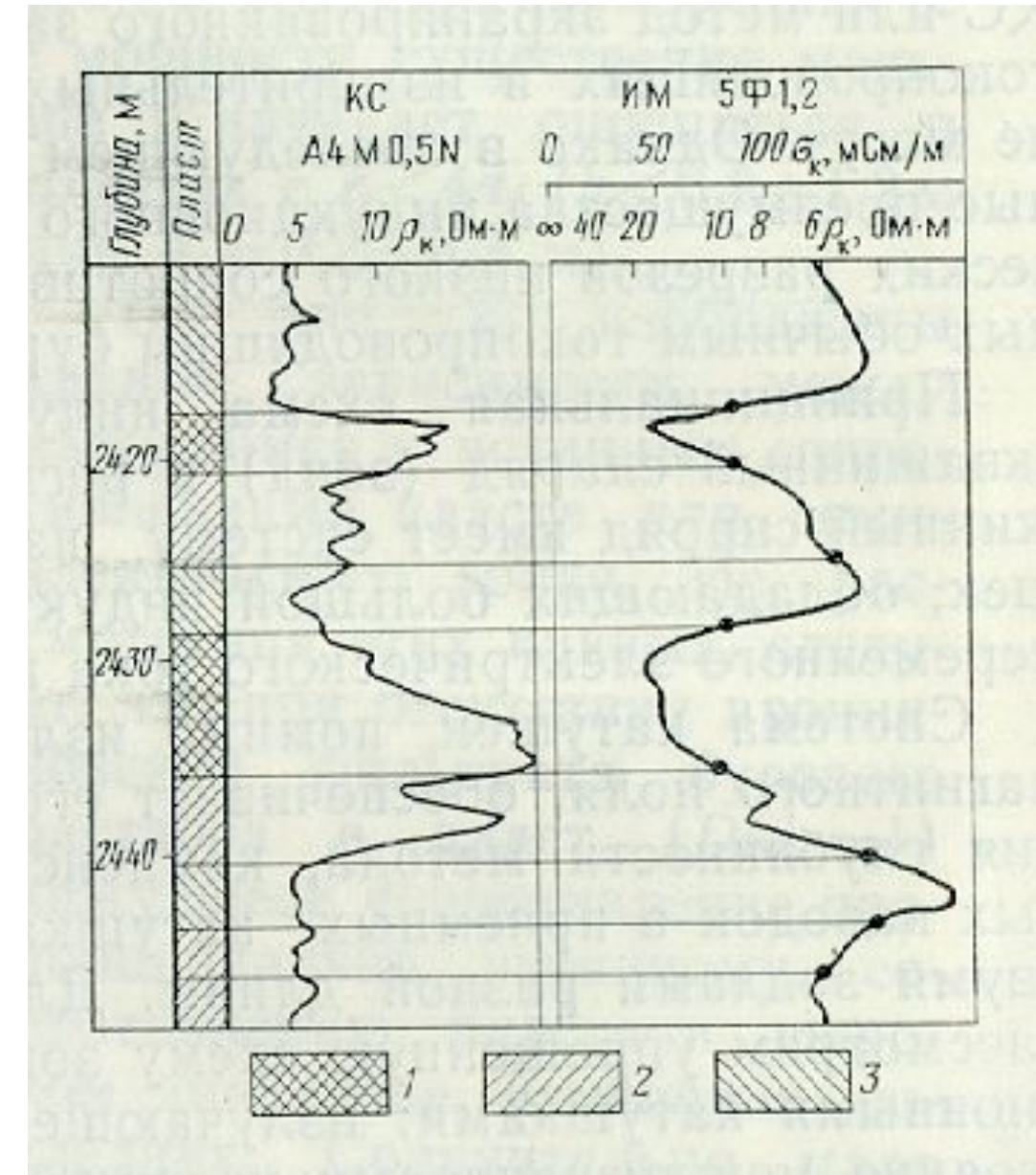
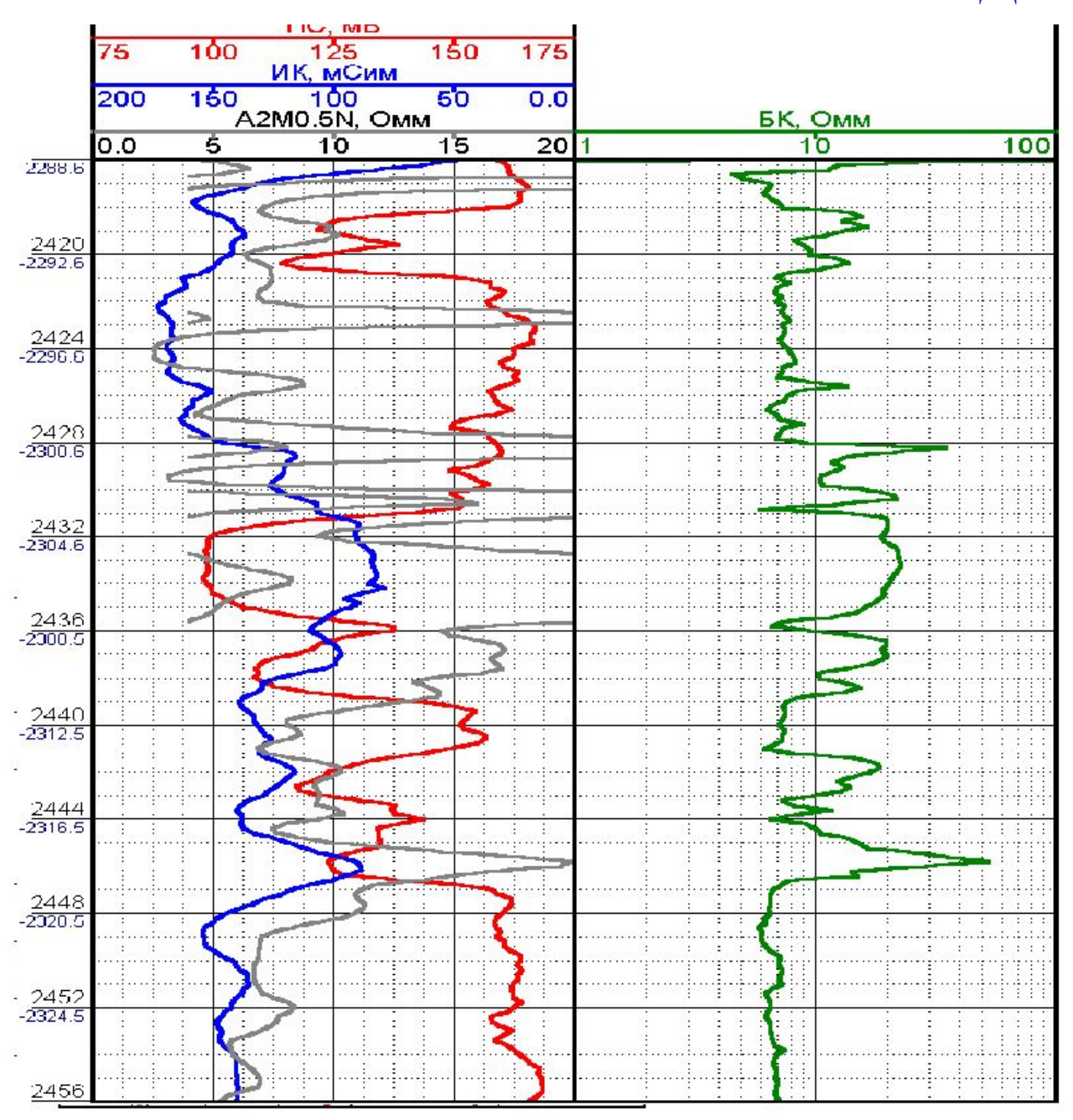


Рис. 23. Расчленение разреза по диаграмме индукционного зонда (по М. Т. Латышевой).

Пласты удельного сопротивления: 1— высокого; 2— среднего; 3— низкого. Точки на кривой зонда 5Ф1,2 соответствуют границам пласта

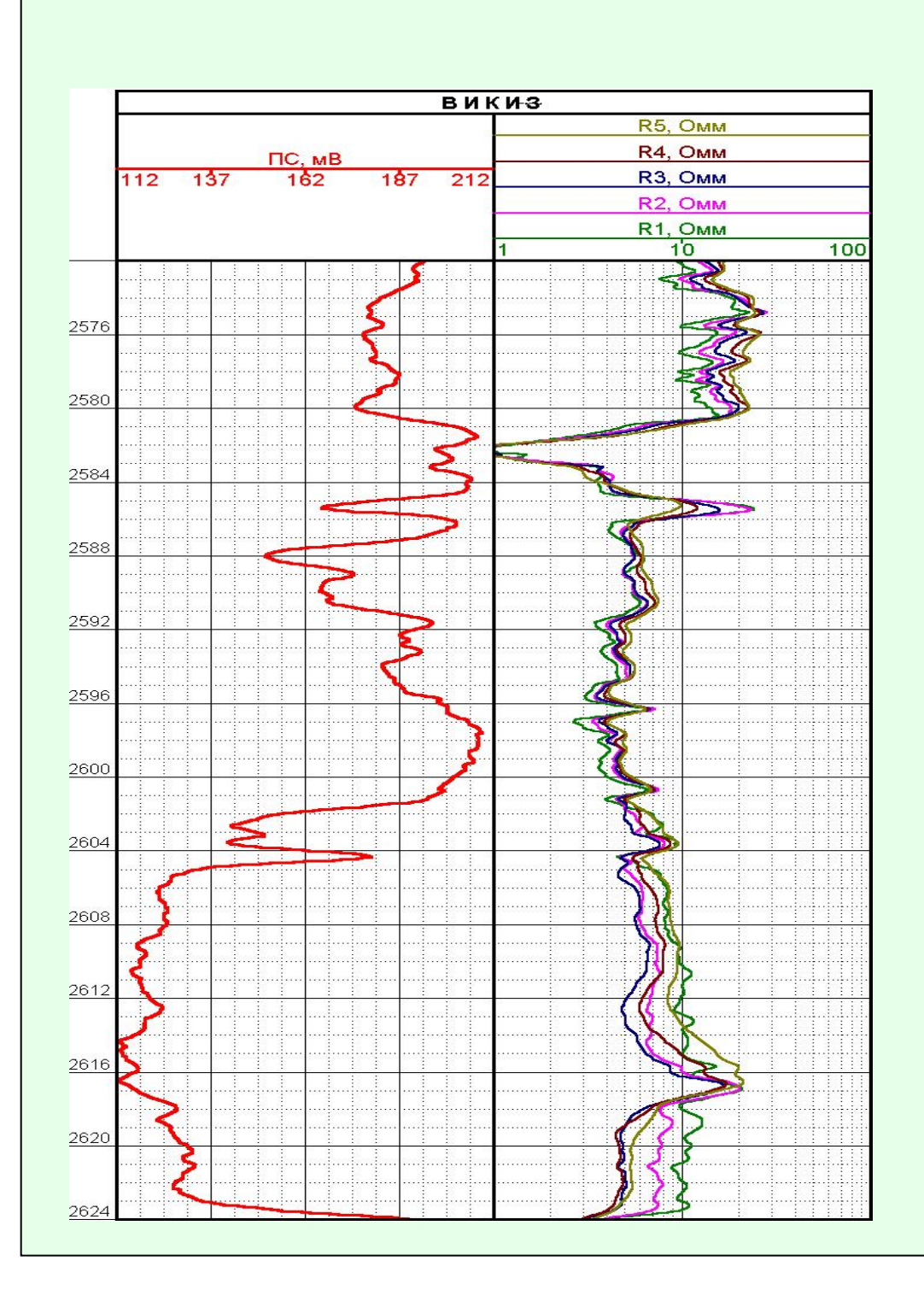
## ДИАГРАММЫ ИМ



# ИК. Эффективность.

- 1. ρ<sub>п</sub> до 50 (100) Ом м.
- 2. В сухих скважинах и с РНО.
- 3. Меняя частоты, меняем глубинность исследований.
- 4. Глубинность исследований превышает обычный зонд КС в 4 раза.
- 5. Выделение ВНК (расхождение кривых зондов ВИКИЗ).
- 6. Геонавигация горизонтальных скважин (ВИКИЗ).
- 7. Эффективность снижается : 1)  $\rho_c$  < 1 Ом м; 2)  $\rho_{_{3\Pi}}$  <  $\rho_{_{\Pi}}$

# Высокочастотное индукционное каротажное изопараметрическое зондирование - ВИКИЗ



### Скважинный прибор ВИКИЗ

### Технические характеристики

Диапазон измерения	1,6-200 Омм
ПС	-5+5 B
Максимальное давление	50 МПа
Максимальная температура	a 100° C
Габаритные размеры:	
длина	4,0 м
диаметр	0,073 м
Macca	50 кг

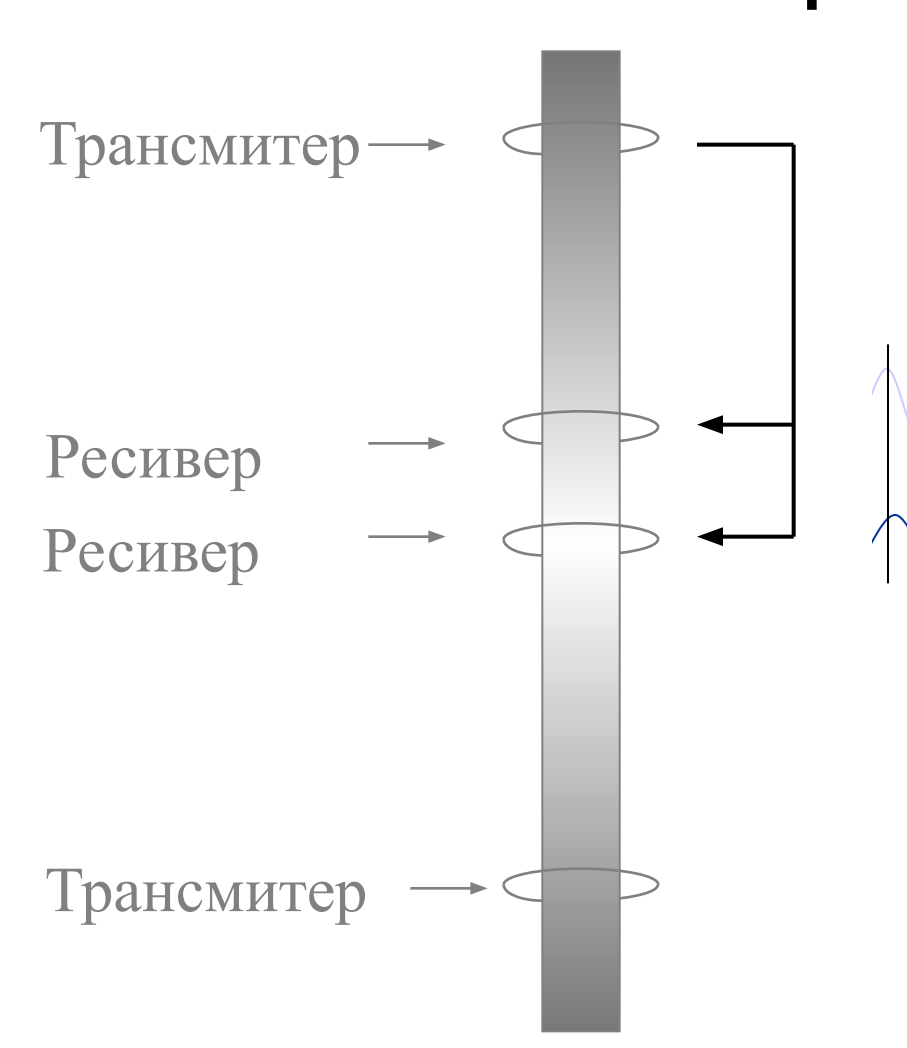
Г1...Г5 - генераторные катушки И1...И6 - Измерительные катушки

### Геометрические характеристики зондов

Схема зонда	длина(м)	база(м)
И6 0.40 И5 1.60 Г5	2,00	0,40
И5 0,28 И4 1,13 Г4	1,41	0,28
И4 0.20 ИЗ 0.80 ГЗ	1,00	0,20
ИЗ 0,14 И2 0,57 Г2	0,71	0,14
И2 0.10 И1 0.40 Г1	0,50	0,10

# Принцип электромагнитного

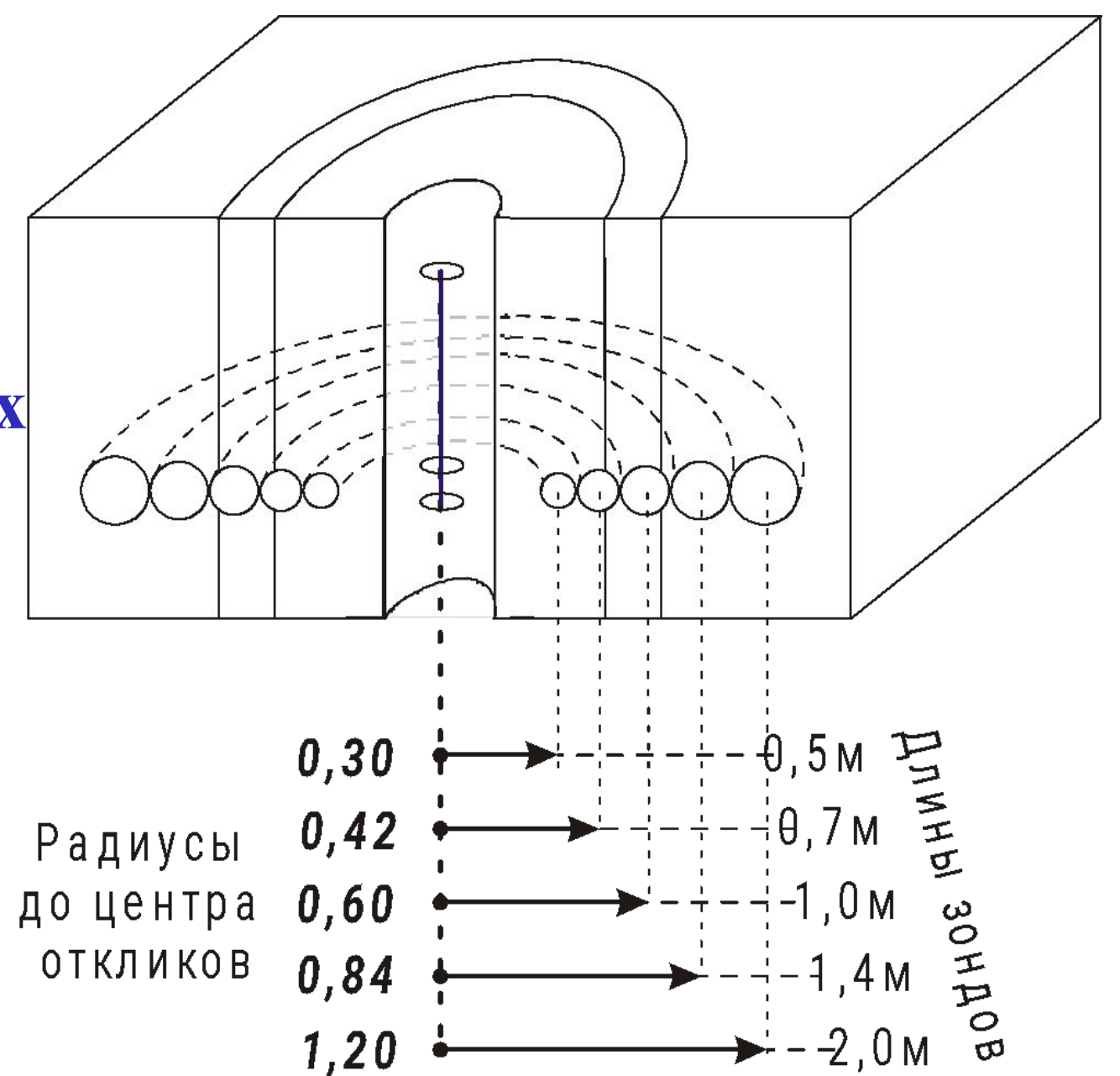
каротажа пектромагнитные волны



затухают в проводящих средах

- Скорость распространения и затухание волн в породе определяют разницы фаз и амплитуд между ближним и дальним ресиверами
- Из этих разниц фаз и амплитуд вычисляется сопротивление породы

ВИКИЗ.
Зоны
максимальной
концентрации
электромагнитных
сигналов.



## викиз.

Типичные модели каротажа.

**A-**

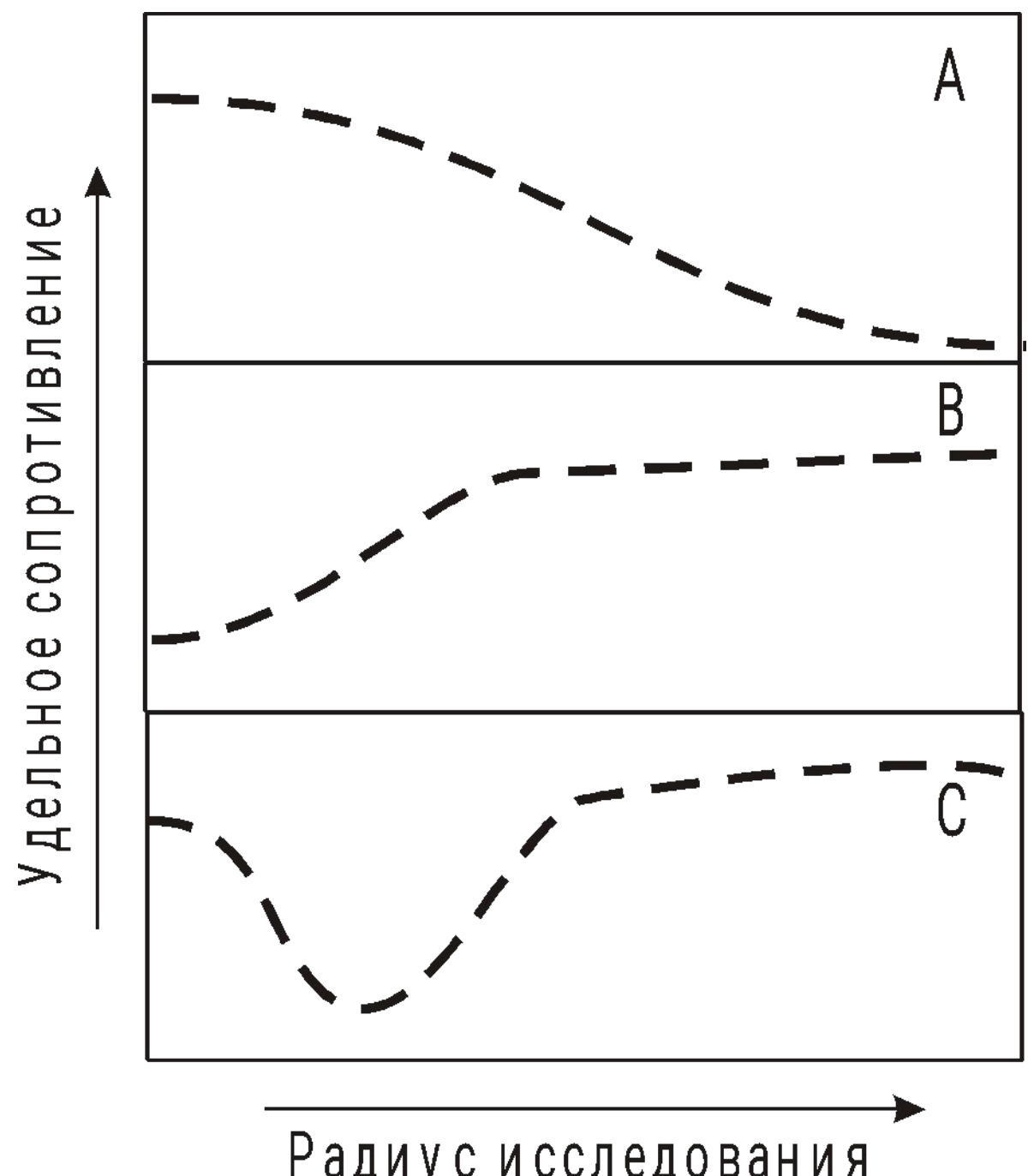
водонасыщенный пласт.

 $\mathbf{B}$  –

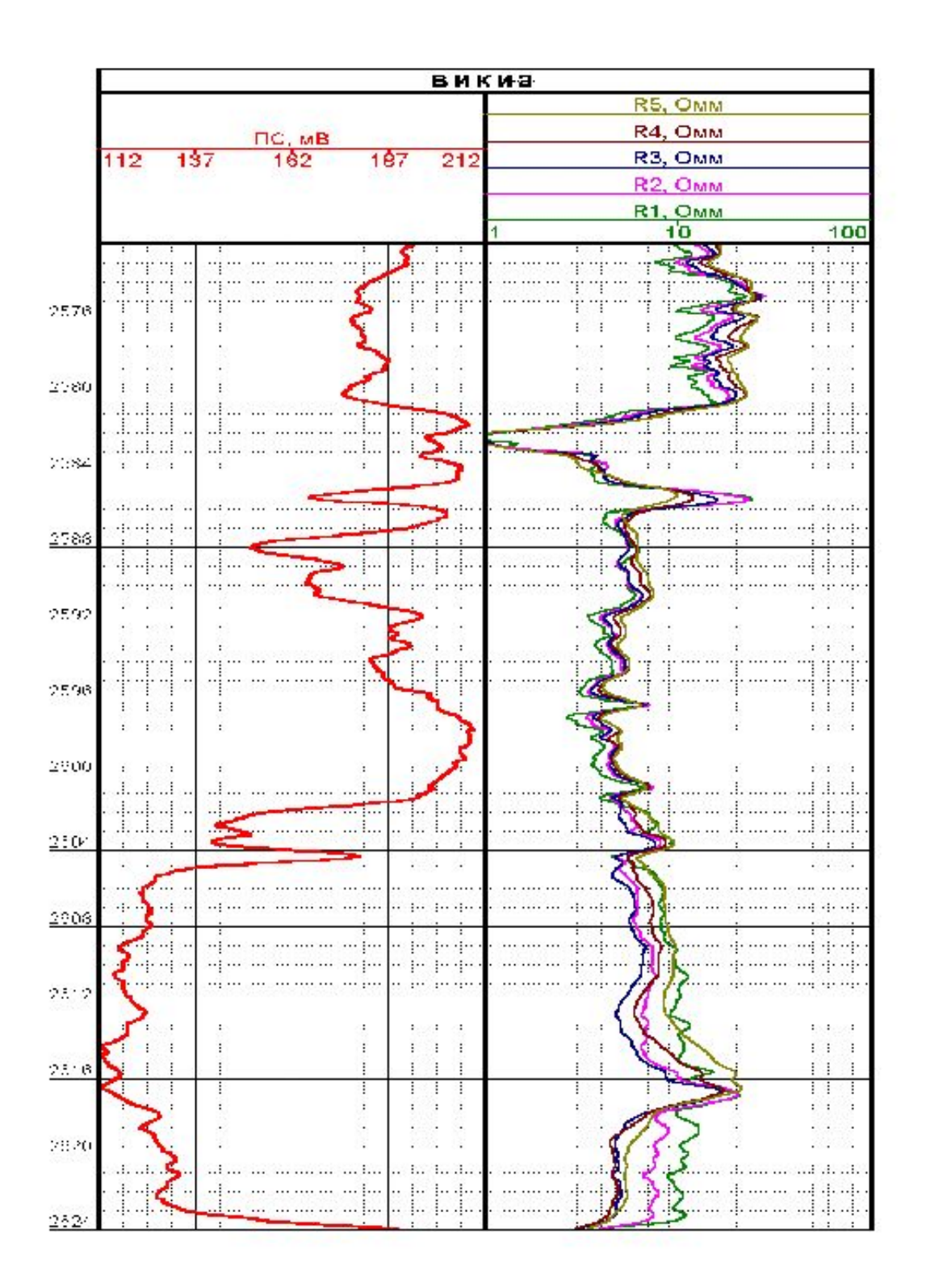
нефтегазонасыщенный пласт.

**C**-

нефтяная оторочка (нефть и пластовая вода).



ВИКИЗ. Фрагмент ГΚ ПС **ВИКИЗ** разреза и диаграмм. Кв% 100 1972 2 M 0.5м 1976 1980 14 00 10 00 1984 1988 Α 1992 Удельное сопротивление <u>ВНК</u> 1822м 1996. 2м 0.5м 2000 Интервал 2004 глубин для ГС Радиус исследования



## викиз.

# Диаграммы.

